

3.

## Métodos de solucionar da equação de Laplace

3.1. Introduçao

3.2. Problemas da electrostática

3.3. Método das diferenças finitas

3.4. Método das funções complexas

3.5. Método das imagens

3.5.1. Carga puntual e plano condutor ao potencial nulo

3.5.2. Placa uniformemente carregada paralela a plano condutor  
ao potencial nulo.

3.5.3. Placa uniformemente carregada paralela a cilindro condutor  
ao potencial nulo.

3.5.4. Superfícies cilíndricas condutoras carregadas, com eixos paralelos

3.5.5. Carga puntual no exterior de uma esfera condutora.

3.5.6. Esfera condutora isolada com carga num campo elétrico  
uniforme.

3.6. Método de separação de variáveis: coordenadas cartesianas

3.6.1. Distribuições bidimensionais do potencial

3.6.2. Distribuições tridimensionais do potencial

3.7. Método de separação de variáveis: coordenadas cilíndricas

3.7.1. Distribuições de potencial independentes de  $z$ .

3.7.2. Distribuições de potencial dependentes de  $z$ .

3.8. Método de separação de variáveis: coordenadas esféricas

3.8.1. Distribuições de potencial unidimensionais

3.8.2. Distribuições de potencial com simetria axial

3.0

## Métodos de solucionar das equações da Laplace

### 3.1. Introdução

### 3.2. Problemas de electrostática

Diversos métodos podem ser utilizados para a solução de problemas de Electrostática, que envolvem as equações da Laplace ou da Poisson e condições fronteira especificadas. Tais métodos podem ser classificados como analíticos, numéricos/computacionais, ou análogos-experimentais. Alguns destes métodos são abordados nas seções seguintes: método da diferenças finitas, método das imagens, método da separação de variáveis, método da função de variável complexa.

No caso de todas as cargas se distribuiram na superfície de condutores (ou em pontos ou linhas carregadas) no vácuo, a solução das equações da Laplace conduz à distribuição do potencial, do campo elétrico e de cargas superficiais nos condutores. A generalização a meios dieletróicos será abordada adiante, no Cap. ...

No caso de haver uma distribuição de carga de densidade  $\sigma_r$  prescrita no espaço entre condutores, e distribuições de carga induzidas nas superfícies dos condutores, é necessário resolver a equação da Poisson. A solução geral pode ser escrita como um termo da forma

$$\phi(r) = \frac{1}{\epsilon_0} \int \frac{\sigma_r(r') dr'}{|r - r'|}$$

adicionado à solução das equações da Laplace resolvida com a mesma configuração dos condutores mas no vácuo. Este termo adicional, no entanto, deve ser tal que o potencial total verifique todas as condições fronteira. Se existir apenas uma distribuição prescrita de carga  $\sigma_r(r')$ , então  $\phi(r)$  é determinado pela solução (analítica,

3.1.a

Considerando a Eletrostática no vácuo, uma questão fundamental é a determinação do campo elétrico  $\vec{E}(\vec{r})$  uma vez fornecida a distribuição de carga elétrica (cargas pontuais, em volumes, superfícies ou linhas). Representando sinteticamente essa distribuição de cargas pela função densidade  $\sigma(\vec{r})$ , o campo elétrico é expresso como

$$\vec{E}(\vec{r}) = \frac{1}{4\pi\epsilon_0} \int_V \sigma(\vec{r}') \frac{\hat{R}}{R^2} dV', \text{ sendo } \hat{R} = \vec{r} - \vec{r}'.$$

direto revela-se difícil, em geral. Uma alternativa de cálculo consiste na determinação da função potencial elétrico  $\phi(\vec{r})$  resultante de  $\sigma(\vec{r})$ , através de:  $\phi(\vec{r}) = \frac{1}{4\pi\epsilon_0} \int_V \sigma(\vec{r}') \frac{1}{R} dV'$ . Subsequentemente,

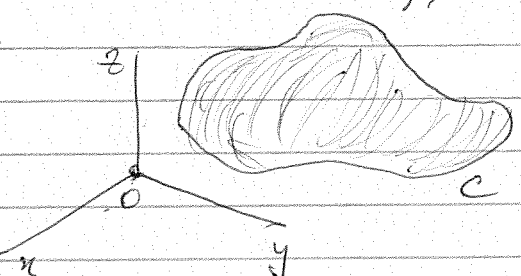
o campo elétrico  $\vec{E}(\vec{r})$  podia ser determinado através de  $\vec{E}(\vec{r}) = -\nabla\phi(\vec{r})$ , que em princípio seria uma operação mais simples que o cálculo direto de  $\vec{E}(\vec{r})$  a partir da distribuição de cargas  $\sigma(\vec{r})$ . Mas esta alternativa também se apresenta, em geral, difícil.

Além disso, a distribuição de carga  $\sigma(\vec{r})$  não é conhecida na generalidade das situações envolvendo condutores: a carga total num condutor (ou o seu potencial) podem estar bem caracterizada, mas a sua distribuição na superfície do condutor não é, geralmente, conhecida.

Uma abordagem genérica desse problema centra-se na solução da equação de Poisson  $\nabla^2\phi(\vec{r}) = -\sigma(\vec{r})/\epsilon_0$ , com condições fronteira apropriadas. Em muitas situações de interesse, as cargas elétricas distribuem-se, apenas, nas superfícies de condutores ("elétrodos", por exemplo), sendo  $\sigma_v(\vec{r}) = 0$  no espaço entre os condutores. Nessa situação comum, trata-se de resolver a equação de Laplace  $\nabla^2\phi(\vec{r}) = 0$ , sujeita a condições fronteira nos condutores. Este problema relaciona-se diretamente com a teoria de funções complexas analíticas, e encontra-se na análise de problemas físicos muito diversos (magnetismo, gravitação, elasticidade, ...).

Por exemplo, uma membrana elástica bem estirada, fixada sobre uma linha de fronteira dada  $C$  (como um anel metálico), apresenta uma forma que é descrita pela equação  $\frac{\partial^2 h}{\partial x^2} + \frac{\partial^2 h}{\partial y^2} = 0$ ,

$$\text{sendo: } g = \left[ 1 + \left( \frac{\partial h}{\partial x} \right)^2 + \left( \frac{\partial h}{\partial y} \right)^2 \right]^{-1/2}$$



Sendo pequena a deformação  $h$  relativamente a um plano,  $g \approx 1$  e resulta imediatamente a equação de Laplace 2D:  $\frac{\partial^2 h}{\partial x^2} + \frac{\partial^2 h}{\partial y^2} = 0$ , com a condição fronteira  $h = 0$  imposta por  $C$ . Assim, existe um modelo mecânico analógico para representar um problema de Eletrostática (deformações elásticas  $\rightarrow$  potencial elétrico).

As soluções da equação de Laplace (2D, 3D) são geralmente designadas por funções harmónicas.

Em situações reais, com fronteiras condutoras complicadas, recorre-se, com frequência cada vez maior, a métodos numéricos/computacionais de solução. Dado o elevado desempenho atual dos computadores ou sistemas computacionais, esta é uma via importante e progressivamente dominante.

minimum) do integral acima.

Sendo  $\sigma_v = \phi$  dependentes de uma única variável, é possível achar soluções diretas da equação de Poisson e, todavia, é útil, por exemplo, quando essa dependência é exclusivamente na coordenada esférica radial  $r$ , ver:

$$\frac{1}{r^2} \frac{d}{dr} (r^2 \frac{d\phi}{dr}) = -\frac{1}{\epsilon_0} \sigma_v(r)$$

sendo  $\sigma_v(r)$  limitado, com as constantes de integração determinadas pela lei de Gauss para um certo valor de  $r$ , e pelo limite livre  $\phi(r) \rightarrow 0$  para  $r \rightarrow \infty$ .

### 3.3. Método de diferenças finitas

Por simplicidade na discussão, considerar um problema eletrostático a duas dimensões (2D). O domínio de integração da equação de Laplace  $\nabla^2 \phi(x,y) = 0$  é dividido por uma malha retangular (considerar, ainda por simplicidade, uma malha de passo  $h$  constante e igual segundo as duas dimensões), e operar com os valores do potencial  $\phi$  nos nodos dessa rede (discretizar a  $\phi(x,y)$  com passo  $h_x = h_y = h$ ). Seja o nodo  $O$  e os nodos vizinhos N, S, E, W, como mostra a figura. Para valores de  $h$  suficientemente pequenos, veremos:

$$\left( \frac{\partial \phi}{\partial n} \right)_A \approx \frac{\phi_E - \phi_O}{h}$$

$$\left( \frac{\partial \phi}{\partial n} \right)_B \approx \frac{\phi_O - \phi_W}{h}$$

$$\left( \frac{\partial^2 \phi}{\partial x^2} \right)_O \approx \frac{(\partial \phi / \partial n)_A - (\partial \phi / \partial n)_B}{h} \approx \frac{\phi_E + \phi_W - 2\phi_O}{h^2}$$

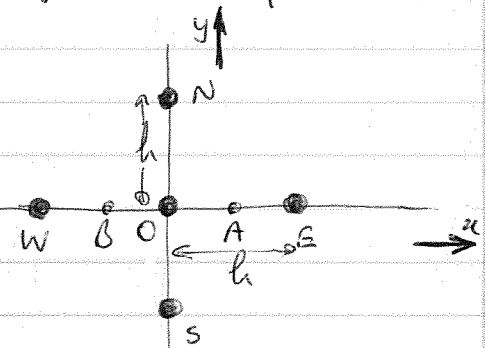
$$\left( \frac{\partial^2 \phi}{\partial y^2} \right)_O \approx \frac{\phi_N + \phi_S - 2\phi_O}{h^2} \quad (\text{analogamente a } (\partial^2 \phi / \partial n^2)_O)$$

Dando a equação de Laplace em diferenças finitas:

$$(\nabla^2 \phi)_O \approx \frac{\phi_E + \phi_N + \phi_W + \phi_S - 4\phi_O}{h^2}$$

ou seja:

$$\phi_O \approx \frac{1}{4} (\phi_E + \phi_N + \phi_W + \phi_S)$$



13.2a

Da discretização da equação de Laplace, resulta que o potencial num nodo é a média dos potenciais dos nodos vizinhos na malha de discretização usada. Genericamente, a equação de Laplace indica que o valor do potencial  $\phi(\vec{r}, y)$  resulta da média sobre a vizinhança do ponto  $(\vec{r}, y)$  considerado, numa situação 2D:  $\phi(\vec{r}, y) = \frac{1}{2\pi R} \oint_C \phi(\vec{r}', y') d\vec{l}'$ ;  $C(R)$ : circunferência (raio  $R$ ) centrada em  $(\vec{r}, y)$ .

Não ocorrem máximos ou mínimos locais do potencial. Os extremos do potencial verificam-se apenas nas fronteiras. Numa situação 2D, a função harmónica solução do problema minimiza a área da superfície  $\phi(\vec{r}, y)$  compreendida entre a linha de fronteira  $C$ .

Em 3D, verificam-se igualmente estas propriedades:

- $\phi(\vec{r}) = \frac{1}{4\pi R^2} \oint_{S(R)} \phi(\vec{r}') dS'$ ;  $S(R)$ : superfície esférica (raio  $R$ ) centrada em  $\vec{r}$  (vizinhança de  $\vec{r}$ )
- Não existem extremos locais do potencial  $\phi(\vec{r})$ , que ocorrem apenas nas fronteiras.

em cada ponto da malha rectangular. Conclui-se que o potencial no nodo  $i$  é a média dos potenciais dos pontos vizinhos na malha de discretização.

Numa área de cálculo rectangular,  $y \in [0, 1]$  com nodos em  $(x_i, y_j)$ ,

$$i=1, 2, \dots, M; j=1, 2, \dots, N$$

é necessário resolver

$$(M-2)(N-2)$$

equações simultâneas, com a forma acima, para determinar

o potencial  $\tilde{\phi}_{ij}(x_i, y_j)$  nos nodos

interiores à fronteira. Recorre-nos um método de relaxamento, consistindo nos seguintes passos:

(i) estima-se uma solução aproximada em "ratoval"  $\tilde{\phi}_{ij}$  para todos os nodos interiores;

(ii) em cada nodo, calcula-se o resíduo

$$R_{ij} = \tilde{\phi}_{i+1,j} + \tilde{\phi}_{i-1,j} + \tilde{\phi}_{i,j+1} + \tilde{\phi}_{i,j-1} - 4\tilde{\phi}_{ij};$$

(iii) altera-se o valor anterior de  $\tilde{\phi}_{ij}$  para um novo valor, com uma correção  $\Delta\tilde{\phi}_{ij} = \pm \frac{R_{ij}}{4}$ , com  $\pm \in \{1, 2\}$

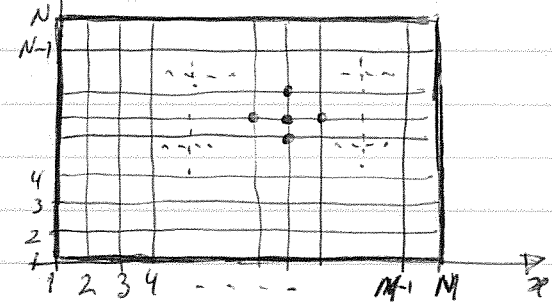
(intervalo de valores do parâmetro de relaxamento  $\pm$  em que existe convergência assegurada);

(iv) repete-se o passo (ii + iii) até que os resíduos  $R_{ij}$  se tornem suficientemente pequenos.

A malha de discretização deve ser adequada para permitir a boa definição das fronteiras e uma representação suficientemente aproximada do potencial em regiões de concentração variável espacial. A escolha da dimensão da região rectangular de discretização deve, igualmente, ser bem ponderada, de modo a que a condição imposta na fronteira retangular ( $\phi=0$ , na análise acima descrita) não afete a solução correcta na região interior da unidade.

### 3.4. Método de funções complexas

Este método é usado na resolução de equações da forma  $\nabla^2\phi=0$  com fronteiras condutoras, em problemas a duas dimensões (2D) em que  $\phi=\phi(u, v)$ . O método baseia-se nas propriedades de funções complexas  $W(u, v)=u(u, v)+i\phi(u, v)$  da variável complexa  $z=x+i y$ .



Para que  $dw/dz$  tenha significado nôrmao (diz-se que  $W(z)$  é uma função analítica) é condicão necessária e suficiente que se verifiquem as condições de Cauchy-Riemann:

$$\begin{cases} \frac{\partial u}{\partial x} = \frac{\partial v}{\partial y} \\ \frac{\partial u}{\partial y} = -\frac{\partial v}{\partial x} \end{cases}$$

$$\text{De facto: } \frac{dw}{dz} = \lim_{\Delta z \rightarrow 0} \left( \frac{sw}{\Delta z} \right) = \lim_{\Delta z \rightarrow 0} \frac{\left( \frac{\partial u}{\partial x} + i \frac{\partial v}{\partial x} \right) \Delta x + \left( \frac{\partial u}{\partial y} + i \frac{\partial v}{\partial y} \right) \Delta y}{\Delta x + i \Delta y} = \\ = \lim_{\Delta z \rightarrow 0} \left( \frac{\partial u}{\partial x} + i \frac{\partial v}{\partial x} \right) \left[ \frac{1 + i \frac{\Delta y}{\Delta x} \left( \frac{\partial v}{\partial y} - i \frac{\partial u}{\partial y} \right) / \left( \frac{\partial u}{\partial x} + i \frac{\partial v}{\partial x} \right)}{1 + i \Delta y / \Delta x} \right]$$

Para que  $dw/dz$  seja independente da orientação de  $\Delta z$ , deve ter-se:

$$\left( \frac{\partial v}{\partial y} - i \frac{\partial u}{\partial y} \right) / \left( \frac{\partial u}{\partial x} + i \frac{\partial v}{\partial x} \right) = 1$$

O que é equivalente às condições de Cauchy-Riemann acima.

Tomando as derivadas  $\partial^2 u / \partial x^2$  e  $\partial^2 v / \partial y^2$  da primeira e segunda condições, respectivamente, ou inversamente, resulta que

$$\begin{cases} \nabla^2 u = 0 \\ \nabla^2 v = 0 \end{cases}$$

Assim, as partes real e imaginária da função analítica  $W$ , e a sua parte função  $w$ , verificam a equação de Laplace. Além disso, as funções  $U(x,y) \in V(x,y)$  correspondem famílias de linhas  $u=\text{const.}$ ,  $v=\text{const.}$ , que são ortogonais entre si; de facto, como  $\nabla u$  é ortogonal a  $u=\text{const.}$  e  $\nabla v$  é ortogonal a  $v=\text{const.}$ , calculando  $\nabla u \cdot \nabla v = \left( \frac{\partial u}{\partial x} \hat{i} + \frac{\partial u}{\partial y} \hat{j} \right) \cdot \left( \frac{\partial v}{\partial x} \hat{i} + \frac{\partial v}{\partial y} \hat{j} \right) =$

$$= \frac{\partial u}{\partial x} \frac{\partial v}{\partial x} + \frac{\partial u}{\partial y} \frac{\partial v}{\partial y} = \frac{\partial u}{\partial x} \left( -\frac{\partial v}{\partial y} \right) + \frac{\partial u}{\partial y} \left( \frac{\partial v}{\partial x} \right) = 0$$

Logo,  $\nabla u$  e  $\nabla v$  são mutuamente ortogonais, e dai concluir que  $u=\text{const.}$  e  $v=\text{const.}$  são famílias de linhas mutuamente ortogonais.

A aplicar esta técnica das funções complexas à solução da equação de Laplace basia-se, então, no seguinte:

Se for possível identificar uma função complexa  $W$  cuja parte real  $u$  satisfizer as condições fronteira do potencial eléctrico  $\phi(x,y)$  na região  $V$  de interesse, entao  $\phi=u$  estando  $v$  associado às linhas de força do campo eléctrico  $E = \nabla \phi$ ; se a parte imaginária  $v$  de  $w$  satisfizer as condições fronteira

teria, entar  $\phi = v$  e  $v = \text{const}$ . representa uma linha da força do campo elétrico  $\vec{E}$ .

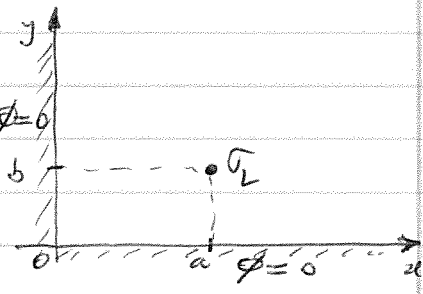
Os exemplos seguintes ilustram a aplicação deste método.

### Distribuição retangular de carga e fronteiras condutoras planas ortogonais

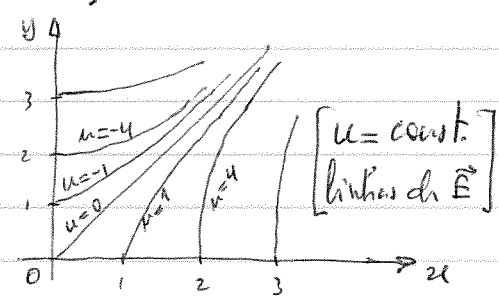
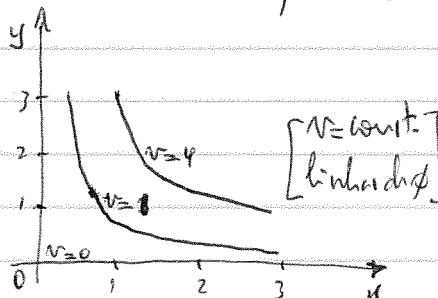
Uma distribuição retangular de carga de densidade linear  $\sigma_L$  estiver situada em  $(a, b, z)$ , na presença de fronteiras planas condutoras  $x=0$  e  $y=0$ , no potencial nulo.

Pretende-n obter a distribuição de potencial  $\phi(v_i)$  no primeiro quadrante, ou seja,  $\phi=0$  a solução de  $\nabla^2\phi = -\sigma/\epsilon_0$ , com

$$\sigma = \begin{cases} 0, & (v_i) \neq (a, b) \\ \int_0^a dV = \sigma_L & \end{cases}$$



Verifica-se, de imediato, que a função complexa  $W = Z^2 = (x^2 - y^2) + i(2xy)$  tem uma parte imaginária que satisfaz as condições fronteira no plano  $Oxz$  e  $Oyz$ . Assim,  $\phi = K(2xy)$ , sendo  $K$  uma constante não-determinada, será a solução aproximada de  $\phi$  numa região  $V$  tal que ( $x < a$ ,  $y < b$ ).



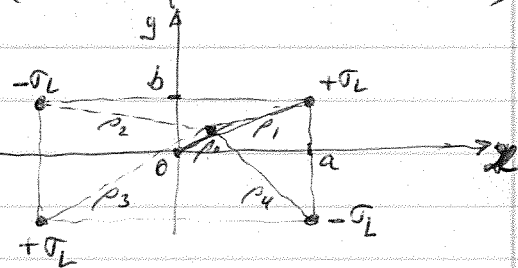
(A determinação da constante  $K$  pode efectuar-se através do método das imagens, abordado na seção 3.... Verifica-se facilmente que o potencial criado pela distribuição  $\sigma_L(a, b)$  e pelas "rectas-imagens"  $-\sigma_L(-a, b)$ ,  $-\sigma_L(a, -b)$ ,  $+\sigma_L(-a, -b)$  verifica a equação de Laplace, obviamente, bem como as condições fronteira no plano  $x=0$  e  $y=0$ ; daí que, no primeiro quadrante (e neste afunilado!), o potencial criado pelas 4 rectas carregadas coincide com a solução do problema. Assim,

considerando a distribuição de

potencial de rectas de carga, tem:

$$\phi = \frac{\sigma_L}{4\pi\epsilon_0} \left[ \ln\left(\frac{P_0}{P_1}\right)^2 - \ln\left(\frac{P_0}{P_2}\right)^2 + \ln\left(\frac{P_0}{P_3}\right)^2 - \ln\left(\frac{P_0}{P_4}\right)^2 \right]$$

com  $P_0 = \sqrt{a^2 + b^2}$ . Para um ponto



de coordenadas  $(x, y)$ , próximo da origem, calculando  $\rho_i$  ( $\rho_i = \sqrt{(x-x_i)^2 + (y-y_i)^2}$ , com  $(x_i, y_i)$  de acordo com as coordenadas das quatro retas) e  $\ln\left(\frac{\rho_0}{\rho_i}\right)^2 = \ln(1+\alpha)$  para  $\alpha \ll 1$ , vem:

$$\phi = \left[ \left( \frac{\sigma_0}{\pi \epsilon_0} \right) \left( \frac{ab}{(a^2+b^2)^2} \right) \right] (2xy)$$

### Surfícies condutoras cilíndricas adjacentes

Dois cilindros condutores cilíndricos, com eixos paralelos a  $z$  e situados no plano  $Oxy$ , estar separados por uma distância infinitesimal em  $x=0$ , sendo os respectivos potenciais arbitrários.

A função complexa  $W = 1/z$  apresenta uma parte real  $u$  tal que  $u = K$  é uma circunferência centrada no eixo  $z$ :

$$\begin{aligned} W = \frac{1}{z} &= \frac{1}{x+iy} = \left( \frac{x}{x^2+y^2} \right) + i \left( \frac{-y}{x^2+y^2} \right) = \\ &= \left( \frac{\cos \theta}{r} \right) + i \left( -\frac{\sin \theta}{r} \right) = u + i v \end{aligned}$$

$$\text{Fazendo } u = K_1, \text{ vem: } \left( x - \frac{1}{2K_1} \right)^2 + y^2 = \left( \frac{1}{2K_1} \right)^2$$

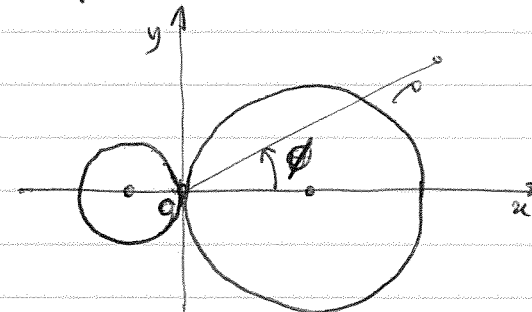
que representa uma família de circunferências centradas no eixo  $z$ ; sendo  $K_1 > 0$ , o centro localiza-se em  $x > 0$ , e inversamente. Semelhantemente,  $v = K_2$  conduz a uma família de circunferências centradas no eixo  $y$ .

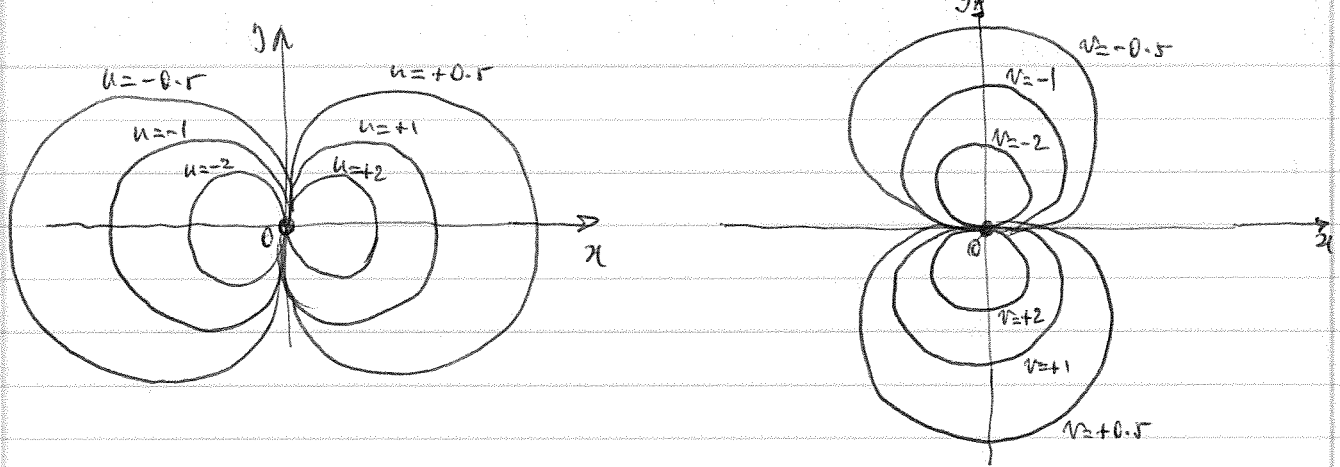
Tomando  $\phi = u$ , é possível resolver casos interessantes:

- potencial no exterior das superfícies cilíndricas com eixos em  $x_1 = 1/2K_1 < 0$  e  $x_2 = 1/2K_2 > 0$ ; se os potenciais das superfícies cilíndricas forem iguais, a solução implica uma distribuição uniforme de carga adicional, colocada em forma adiagonal, sendo o método apenas aproximado.

- potencial entre uma superfície cilíndrica com centro em  $x_1 = 1/2K_1 < 0$  e o plano condutor  $x_2 = 0$  ao potencial zero.
- potencial na região entre superfícies cilíndricas com centros  $x_1, x_2 > 0$ .

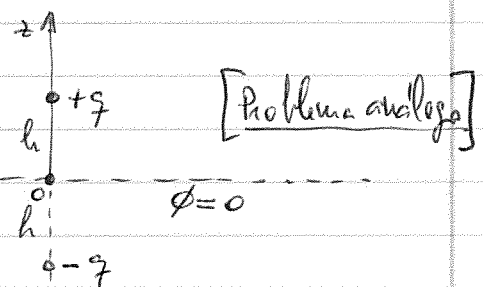
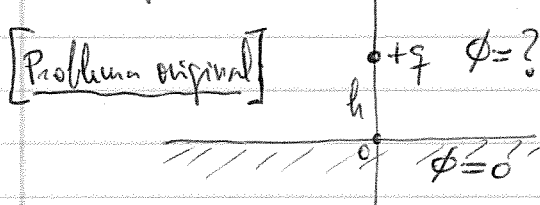
A família de linhas  $v = \text{const.}$  corresponde a linhas de força da  $E$ .





### 3.5. Método das imagens

Este método procura determinar a solução de um problema elástostático (ou seja, determinar  $\phi$  verificando  $\nabla^2\phi=0$  no espaço entre condutores e satisfazendo condições fronteira na superfície dos condutores) através da identificação de um outro "problema análogo", cuja solução é conhecida ou fácil de determinar, tal que as superfícies equipotenciais desse "problema análogo" coincidem com condições fronteira do problema original na região do espaço com interesse (mas não em todo o espaço). A figura ilustra esta metodologia.



No "problema original", a carga pontual na vizinhança do plano condutor ligado à terra ( $z=0, \phi=0$ ) induz neste uma distribuição de carga superficial  $\sigma_s$  não-uniforme. A carga pontual e essa distribuição de carga induzida criam um campo elétrico no semi-espaco  $z \geq 0$  tal que o plano é uma superfície equipotencial. Pretend-n determinar a função potencial  $\phi$  tal que  $\nabla^2\phi=0$  em  $z \geq 0$  e  $\phi(z=0)=0$ .

O "problema análogo" é o de determinar o potencial  $\phi$  criado por duas cargas pontuais ( $\pm q$ ) nas posições  $z=\pm h$ . É imediato concluir que o plano médio ( $z=0$ ) corresponde a uma superfície equipotencial  $\phi=0$ ; assim, essa superfícial do "problema análogo" é o plano condutor do "problema original" coincidem. Isto, no espaço  $z \geq 0$ , a solução

## Solução de problemas de Eletrostática no vácuo

- Expressão geral do potencial elétrico num volume  $V$  limitado por  $S$ .  
Seiando conhecida a distribuição da carga elétrica, definida pela função densidade da carga  $\sigma(\vec{r})$ , a determinação do potencial elétrico  $\phi(\vec{r})$  resulta de  $\phi(\vec{r}) = \frac{1}{4\pi\epsilon_0} \int_V \frac{\sigma(\vec{r}') dV'}{R}$  (com  $\vec{R} = \vec{r} - \vec{r}'$ ;  $R = |\vec{R}|$ ).

O campo elétrico  $\vec{E}(\vec{r})$ , por sua vez, pode obter-se de  $\vec{E}(\vec{r}) = -\nabla\phi(\vec{r})$ , ou por integração usando a função densidade da carga:  $\vec{E}(\vec{r}) = \frac{1}{4\pi\epsilon_0} \int_V \frac{\sigma(\vec{r}') \vec{R}}{R^3} dV'$ .

Todavia, na generalidade das situações, a distribuição da carga  $\sigma(\vec{r})$  não é conhecida. Por exemplo, as cargas distribuem-se, na superfície de condutores com forma arbitrária, de modo não-uniforme, não conhecido a priori.

A função potencial  $\phi(\vec{r})$  deve verificar a equação de Laplace ( $\nabla^2\phi = 0$ ), ou a equação de Poisson ( $\nabla^2\phi = -\rho/\epsilon_0$ ); e, em certas fronteiras (por exemplo, na superfície de condutores), a função potencial  $\phi(\vec{r})$  ou o campo elétrico  $\vec{E}(\vec{r})$  devem verificar certas condições. A análise deste problema recorre aos teoremas de Green.

• Primeiro teorema de Green: Seiando  $\vec{A}(\vec{r})$  um campo vetorial definido por  $\vec{A}(\vec{r}) = \phi(\vec{r}) \nabla \psi(\vec{r})$ , em que  $\phi(\vec{r})$  e  $\psi(\vec{r})$  são campos escalares, verifica-se que

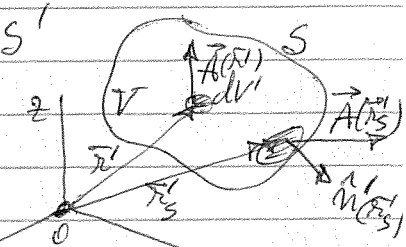
$$\nabla \cdot \vec{A} = \nabla \cdot (\phi \nabla \psi) = \phi \nabla^2 \psi + (\nabla \phi) \cdot (\nabla \psi).$$

Recorrendo ao teorema de Gauss-Green,

$$\int_V \nabla' \cdot \vec{A}(\vec{r}') dV' = \oint_S \vec{A}(\vec{r}') \cdot \hat{n}' dS' \quad (\nabla' \text{ operador no domínio } \vec{r}'),$$

e como  $\vec{A} \cdot \hat{n}' = [\phi \nabla' \psi] \cdot \hat{n}' = \phi \frac{\partial \psi}{\partial n'}$  ( $\partial n'$  é derivada normal), resulta:

$$\int_V [\phi \nabla'^2 \psi + (\nabla' \phi) \cdot (\nabla' \psi)] dV' = \oint_S \phi \frac{\partial \psi}{\partial n'} dS'$$



• Segundo teorema de Green: intermutando os campos  $\phi$  e  $\psi$  na expressão anterior, resulta:

$$\int_V [\psi \nabla'^2 \phi + (\nabla' \psi) \cdot (\nabla' \phi)] dV' = \oint_S \psi \frac{\partial \phi}{\partial n'} dS'$$

Subtraindo, membro a membro, as duas equações anteriores, vem:

$$\int_V [\phi(\vec{r}') \nabla'^2 \psi(\vec{r}') - \psi(\vec{r}') \nabla'^2 \phi(\vec{r}')] dV' = \oint_S [\phi(\vec{r}') \frac{\partial \psi(\vec{r}')}{\partial n'} - \psi(\vec{r}') \frac{\partial \phi(\vec{r}')}{\partial n'}] dS'$$

3.7

Faz-se:  $\nabla(\vec{r}') = \frac{1}{R} \hat{r}' = \frac{1}{|\vec{r}-\vec{r}'|}$ ;  $\phi(\vec{r}') = \phi(\vec{r})$  (sendo  $\phi$  o potencial)

Vem, então:  $\nabla^2 \phi(\vec{r}') = \nabla^2 \phi(\vec{r}) = -\nabla r(\vec{r}')/\epsilon_0$  (equações de Poisson)

$$\nabla^2 \phi(\vec{r}') = \nabla^2(1/R) = \nabla^2(1/|\vec{r}-\vec{r}'|) = -4\pi \delta(\vec{r}-\vec{r}') = -4\pi \delta(\vec{r}).$$

Então, do segundo teorema de Green, resulta:

$$-\frac{1}{4\pi\epsilon_0} \int_V \phi(\vec{r}') \delta(\vec{r}-\vec{r}') dV' + \frac{1}{\epsilon_0} \int_S \frac{\nabla r(\vec{r}')}{|\vec{r}-\vec{r}'|} dV' = \phi[\phi(\vec{r})] \frac{\partial}{\partial n'} \left( \frac{1}{|\vec{r}-\vec{r}'|} \right) - \frac{1}{\epsilon_0} \frac{\partial \phi(\vec{r}')}{\partial n'} dS'$$

Se o ponto ( $\vec{r}$ ) onde se calcula o potencial  $\phi$  se situar no interior do volume  $V$ , então o primeiro termo é  $-\phi(\vec{r}')$ , pela definição de  $\delta(\vec{r}')$ .

Então:

$$\phi(\vec{r}) = \frac{1}{4\pi\epsilon_0} \int_V \frac{\nabla r(\vec{r}')}{R} dV' + \frac{1}{4\pi} \int_S \left[ \frac{1}{R} \frac{\partial}{\partial n'} \phi(\vec{r}') - \phi(\vec{r}') \frac{\partial}{\partial n'} \left( \frac{1}{R} \right) \right] dS'$$

Importa analisar duas situações relevantes:

- Superfície  $S$  no infinito:  $\phi(\vec{r}')$  é obtido em qualquer ponto  $\vec{r}'$ , a partir da distribuição de carga  $\rho_v(\vec{r}')$ . De

facto, o primeiro termo no integrando do integral de superfície, considerando uma carga pontual, varia com  $r'$  como

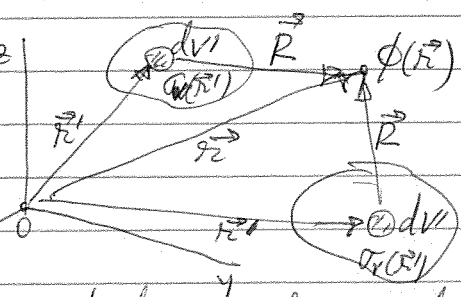
$$\frac{1}{R} \frac{\partial}{\partial n'} \sim \frac{1}{R^3} \text{ (campo elétrico)}$$

decair mais rapidamente que  $R^{-1}$ ), donde a contribuição para  $\phi(\vec{r})$  é nula. A contribuição do segundo termo do integrando do integral de superfície é também nula. Assim

$$\phi(\vec{r}) = \frac{1}{4\pi\epsilon_0} \int_V \frac{\nabla r(\vec{r}')}{|\vec{r}-\vec{r}'|} dV'$$

( $S \rightarrow \infty$ ;  $V$  infinito)

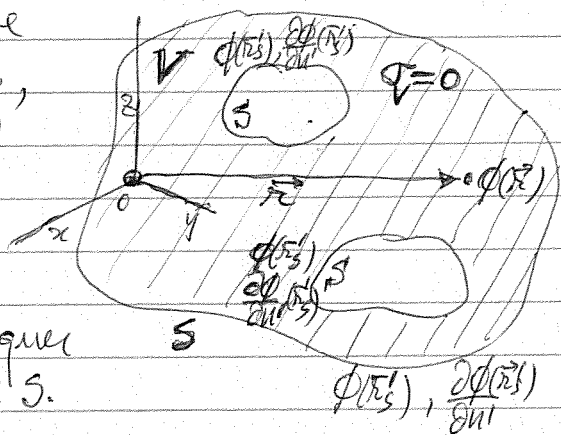
( $\phi(\vec{r})$  obtido em qualquer ponto  $\vec{r}$ )



- Carga nula em  $V$ :  $\rho_v(\vec{r}') = 0$  no volume  $V$ , limitado por  $S$ , onde se calcula  $\phi(\vec{r}')$ . A fronteira  $S$  que

limita  $V$  pode ser constituída, por exemplo, pelas superfícies de condutores. Então o potencial  $\phi(\vec{r}')$  é determinado pelos valores do potencial e da derivada normal do potencial na fronteira (superfície  $S$ )

da região de integração  $V$ , em quaisquer pontos ( $\vec{r}'$ ) do volume  $V$  limitado por  $S$ .



## Condições fronteira

A fixação simultânea de  $\phi(\vec{r})$  e  $\partial\phi/\partial n(\vec{r})$  na fronteira  $S$  de  $V$  conduz a sobre-determinação do problema. Na realidade, é apenas necessário fixar um dos tipos de condição fronteira:

- Condição fronteira de Dirichlet:  $\phi(\vec{r})$  é dado em  $S$ .
- Condição fronteira de Neumann:  $\partial\phi/\partial n(\vec{r})$  é dado em  $S$ .

## Unicidade da solução $\phi(\vec{r})$

Supondo duas soluções distintas de um problema de Eletrostática, designadas por  $\phi_{1,2}(S)$ , ambas verificando a equação de Poisson ( $\nabla^2\phi_{1,2} = -\rho/\epsilon_0$ ), ou da Laplace, resulta:  $\nabla^2(\phi_1 - \phi_2) = 0$ . Na fronteira  $S$ , ambas as soluções verificam as mesmas condições:

Condições de Dirichlet:  $\phi_1(S) = \phi_2(S)$

Condições de Neumann:  $\partial\phi_1/\partial n(S) = \partial\phi_2/\partial n(S)$

fazendo  $u(\vec{r}) = \phi_1(\vec{r}) - \phi_2(\vec{r})$ , do primeiro teorema de Green, com  $\varphi = \psi = u$ , resulta:  $\int [u(\vec{r}') \nabla^2 u(\vec{r}') + (\nabla' u(\vec{r}'))^2] dV' = \int u(\vec{r}') \frac{\partial u}{\partial n'} dS'$

Como  $\nabla^2 u(\vec{r}') = 0$  em  $V$ , e em  $S$  se tem  $u=0$  (C. Dirichlet) ou  $\partial u/\partial n=0$  (C. Neumann), resulta:  $\int [\nabla' u(\vec{r}')]^2 dV' = 0$ . Dónde  $\nabla' u(\vec{r}') = 0$ .

De se,  $u(\vec{r})$  é constante em  $V$ ; então:

• Condições de Dirichlet: Como  $u(\vec{r}) = 0$  em  $S$ , resulta que a constante é nula;  $u(\vec{r}) = 0$  em qualquer ponto de  $V$  e  $S$ ; ou seja,  $\phi_1 = \phi_2$  em  $V$  e  $S$ .

• Condições de Neumann:  $u(\vec{r}) = \phi_1(\vec{r}) - \phi_2(\vec{r}) = \text{constante}$ ; mas tal não é relevante, pois o potencial  $\phi(\vec{r})$  é sempre definido a menos de constante, dependente da referência do potencial adotada.

Resulta das considerações anteriores que  $\phi(\vec{r})$  é univocamente determinado, quer se adote condições fronteira de Dirichlet, quer se adote condições fronteira de Neumann. Assim,  $\phi(S)$  e  $\partial\phi/\partial n(S)$  não são independentes. Confirma-se que a fixação simultânea de ambas as condições fronteira resulta em sobre-determinação do problema.

## Funções de Green

Resumindo, acima, uma expressão geral para o potencial  $\phi(\vec{r})$ :

$$\phi(\vec{r}) = \frac{1}{4\pi\epsilon_0} \int_V \frac{\rho(\vec{r}')}{R} dV' + \frac{1}{4\pi} \oint_{S(V)} \left[ \frac{1}{R} \frac{\partial\phi(\vec{r}')}{\partial n'} - \phi(\vec{r}') \frac{\partial}{\partial n'} \left( \frac{1}{R} \right) \right] dS'$$

Nesta equação, o potencial  $\phi(\vec{r})$  depende simultaneamente de  $\Box \phi(\vec{r})$  e de  $\partial \phi/\partial n(\vec{r})$  em  $S$ ; tal resulta de uma escolha da função  $\phi(\vec{r})$  como  $\phi(\vec{r}') = 1/|\vec{r} - \vec{r}'|$ . Esta função verifica a equação de Poisson ( $\nabla^2(\frac{1}{|\vec{r} - \vec{r}'|}) = -4\pi \delta(\vec{r} - \vec{r}')$ ) mas não as condições fronteira de Dirichlet ou de Neumann em  $S$ , exceto quando  $S \rightarrow \infty$ .

Usa-se, então, uma função de Green  $G(\vec{r}, \vec{r}') = \frac{1}{|\vec{r} - \vec{r}'|} + F(\vec{r}, \vec{r}')$ ,

com o termo adicional  $F$ , tal que  $\nabla^2 F = 0$  no volume  $V$  e sendo  $G(\vec{r}, \vec{r}')$  simétrica em  $\vec{r}, \vec{r}'$ :  $G(\vec{r}, \vec{r}') = G(\vec{r}', \vec{r})$ . Tal introduz liberdade adicional, que permite eliminar um dos termos do integrando da integral sobre  $S$ .

Recorrendo ao segundo teorema de Green, fazendo  $\psi = \phi$  e  $\chi = G$ , resulta uma expressão para  $\phi(\vec{r})$ :

$$\phi(\vec{r}) = \frac{1}{4\pi\epsilon_0} \int_V \tau_V(\vec{r}') G(\vec{r}, \vec{r}') dV' + \frac{1}{4\pi} \oint_S [G(\vec{r}, \vec{r}') \frac{\partial \phi}{\partial n'}(\vec{r}') - \phi(\vec{r}') \frac{\partial G}{\partial n'}(\vec{r}')] dS'$$

Escolhendo apropriadamente  $G$  (i.e.,  $F$ ), é possível eliminar um dos integrais da superfície:

- Condições de Dirichlet:  $G_D(\vec{r}, \vec{r}') = 0$  se  $\vec{r}' = \vec{r}'(S)$ . Então:

$$\phi(\vec{r}) = \frac{1}{4\pi\epsilon_0} \int_V \tau_V(\vec{r}') G_D(\vec{r}, \vec{r}') dV' - \frac{1}{4\pi} \oint_S \phi(\vec{r}') \frac{\partial G_D}{\partial n'}(\vec{r}, \vec{r}') dS'$$

- Condições de Neumann:  $\frac{\partial G_N}{\partial n'}(\vec{r}, \vec{r}') = -\frac{4\pi}{S}$  se  $\vec{r}' = \vec{r}'(S)$ , sendo  $S$  a área total da fronteira  $S$ .

Então:  $\phi(\vec{r}) = \langle \phi \rangle_S + \frac{1}{4\pi\epsilon_0} \int_V \tau_V(\vec{r}') G_N(\vec{r}, \vec{r}') dV' + \frac{1}{4\pi} \oint_S \frac{\partial \phi}{\partial n'}(\vec{r}') G_N(\vec{r}, \vec{r}') dS'$

em que  $\langle \phi \rangle_S = \frac{1}{S} \oint_S \phi(\vec{r}') dS$  é o valor médio do potencial na superfície  $S$ .

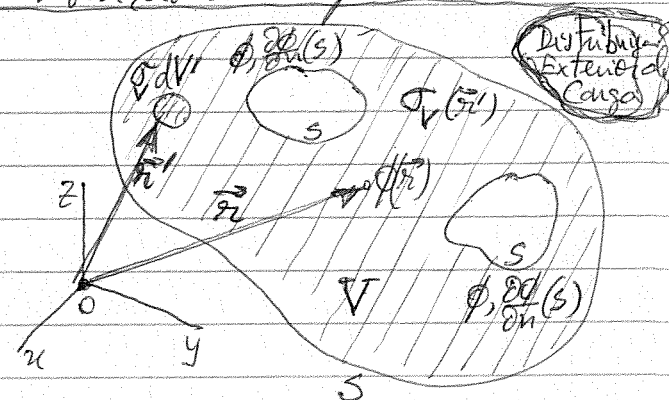
Esta constante pode ser adicionada à constante arbitrária decorrente da escolha da referência do potencial. Na situação em que  $S \rightarrow \infty$ ,  $\langle \phi \rangle_S \rightarrow 0$ , se  $\phi(\vec{r})$  decaindo mais rapidamente do que  $\vec{r}'$ .

Sendo a função  $F(\vec{r}, \vec{r}')$  solução da equação de Laplace em  $V$ , está associada ao potencial de uma distribuição de carga no exterior de  $V$ . A escolha da função  $F(\vec{r}, \vec{r}')$

será tal que, associada à função  $1/|\vec{r} - \vec{r}'|$

(que permite calcular a contribuição de cargas elementares em ponto  $\vec{r}'$ :  $\tau_V(\vec{r}') dV'$ ), assegura que a função de Green  $G(\vec{r}, \vec{r}')$  verifica, na fronteira  $S$ .

A distribuição de carga no exterior de  $V$



depende da distribuição das cargas no interior de  $V$ , de tal modo que o potencial  $\phi$  ou a sua derivada normal  $\partial\phi/\partial n(S)$ , verifiquem as condições fronteira especificadas (por exemplo, o potencial na superfície dos condutores; a densidade da carga ou o campo elétrico ( $E(s) = \nabla\phi(s)/\epsilon_0$ ) na superfície dos condutores). Seja,  $f(\vec{r}, \vec{r}')$  depende de  $\vec{r}'$ , ponto no volume  $V$  onde existirá carga. O método das imagens é baseado neste princípio.

Exemplo: Esfera condutora ao potencial zero, no campo de uma carga puntual. Considera-se uma esfera condutora de raio  $a$ , cujo potencial é zero ( $\phi = 0$ ), e uma carga puntual  $q$  no seu exterior. Dada a simetria do problema, situa-se a carga  $q$  no eixo  $Oy$ , sem tal implicar qualquer limitação, numa posição  $y = y'$  ( $y > a$ ).

As condições fronteira são:

$$\phi(a) = 0 ; \phi(\infty) = 0$$

Trata-se de um problema de Dirichlet, procurando-se a

função de Green  $G_D$ , pretendendo-se determinar o potencial

$$\phi(\vec{r}) \text{ no exterior da esfera } (\vec{r} \text{ é } \in V)$$

Considera-se uma distribuição de carga fora do domínio  $V$ , ou seja, no exterior da esfera ( $r > a$ ). Essa distribuição de carga é simples, neste caso: carga puntual  $q'$  no exterior da superfície esférica, no eixo  $Oy$ , à distância  $y'$  da origem colocada no centro da esfera.

O potencial criado pelas duas cargas pontuais é:

$$\phi(\vec{r}, \vec{y}) = \frac{1}{4\pi\epsilon_0} \left[ \frac{q}{|\vec{r} - \vec{y}|} + \frac{q'}{|\vec{r} - \vec{y}'|} \right]$$

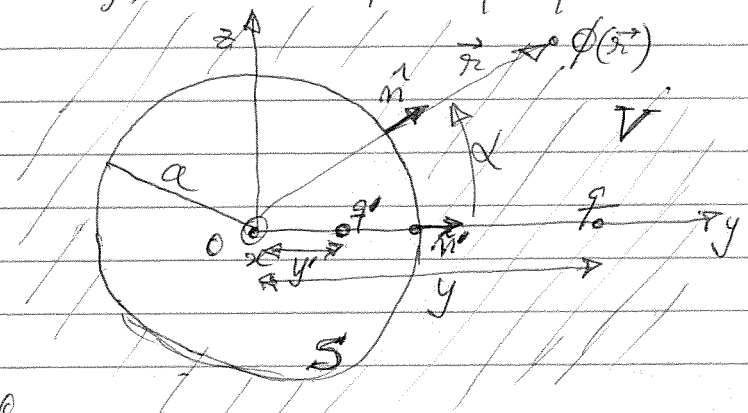
Definindo os versores  $\hat{n} = \vec{r}/|\vec{r}| = \hat{r}$  e  $\hat{n}' = \hat{y}$ , então na superfície esférica  $S$  (que limita  $V$ ) tem-se:

$$\begin{aligned} \phi(\vec{r}=a, \vec{y}) &= \frac{1}{4\pi\epsilon_0} \left[ \frac{q}{a|\hat{r} - \hat{y}|} + \frac{q'}{y'|\hat{r}' - \hat{y}'|} \right] = \\ &= \frac{1}{4\pi\epsilon_0} \left[ \frac{q}{a\sqrt{1 + \frac{y^2}{a^2} - 2\frac{y}{a}\cos\alpha}} + \frac{q'}{\sqrt{1 + \frac{a^2}{y'^2} - 2\frac{a}{y'}\cos\beta}} \right] = 0 \end{aligned}$$

(verificar as condições fronteira de Dirichlet da função  $G_D(\vec{r}, \vec{y}')$ ).

A equação é válida para qualquer valor de  $\hat{r} \cdot \hat{r}' = \cos\alpha$  se

$$q' = -\frac{a}{y} q \quad ; \quad y' = \frac{a^2}{y}$$



Resulta o seguinte potencial no exterior da esfera (volume  $V$ ): [3.7f]

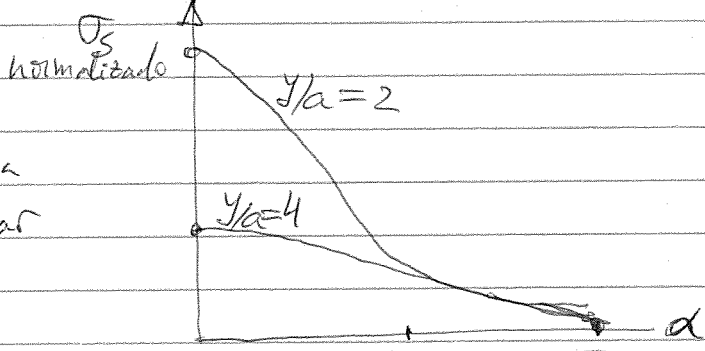
$$\phi(\vec{r}, \vec{y}) = \frac{q'}{4\pi\epsilon_0} \left[ \frac{1}{|\vec{r}-\vec{y}|} - \frac{a}{y \sqrt{\frac{a^2}{y^2} - \frac{1}{r^2}}} \right], \quad r \geq a$$

A solução encontrada é única, e a função  $G_D$  escreve-se

$$G_D(\vec{r}, \vec{y}) = \frac{1}{|\vec{r}-\vec{y}|} - \frac{a}{y \sqrt{\frac{a^2}{y^2} - \frac{1}{r^2}}}$$

Verifica-se facilmente que  $G_D(\vec{a}, \vec{y}) = 0$  e  $G_D(\vec{r}_1, \vec{a}) = 0$ , e  $G_D(\vec{r}, \vec{y}) = G(\vec{y}, \vec{r})$ .

A densidade de carga induzida na superfície esférica é  $\sigma_S(r=a) = -\epsilon_0 \partial \phi / \partial r |_{r=a}$ , e a carga total na superfície esférica é  $Q_S = \int_S \sigma_S a^2 d\Omega = q'$ .



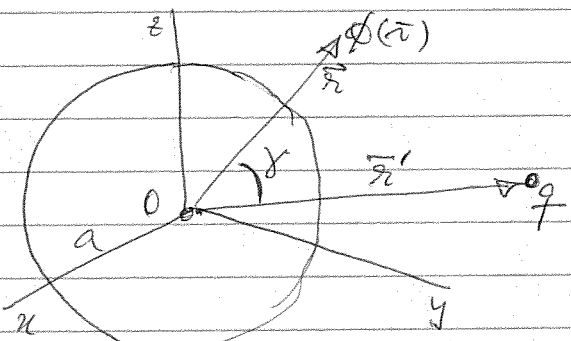
Considerando a carga  $q$  numa posição arbitrária  $\vec{r}'$ , a função de Green escreve-se:

$$G_D(\vec{r}, \vec{r}') = \frac{1}{\sqrt{r^2 + r'^2 - 2rr' \cos\gamma}} =$$

$$\frac{1}{\sqrt{\frac{r^2 r'^2}{a^2} + a^2 - 2rr' \cos\gamma}}$$

$$\frac{\partial G_D(\vec{r}, \vec{r}')}{\partial n'} \Big|_{r'=a} = -\frac{r^2 - a^2}{a(r^2 + a^2 - 2ar \cos\gamma)^{3/2}}$$

(sinal (-) pois  $\partial/\partial n' = -\partial/\partial r'$ )



Existindo, no exterior da esfera (região  $V$ ), não uma carga pontual  $q$  mas antes uma distribuição de carga  $\sigma_V(\vec{r})$  em  $V$ , a solução geral do potencial escreve-se:  $\phi(\vec{r}) = \frac{1}{4\pi\epsilon_0} \int_V G_D(\vec{r}, \vec{r}') \sigma_V(\vec{r}') dV' - \frac{1}{4\pi} \oint_S \frac{\partial G_D(\vec{r}, \vec{r}')}{\partial n'} \phi(\vec{r}') dS' =$

$$= \frac{1}{4\pi\epsilon_0} \int_V \frac{1}{\sqrt{r^2 + r'^2 - 2rr' \cos\gamma}} \sigma_V(\vec{r}') r'^2 dr' d\Omega' -$$

$$= \frac{1}{4\pi\epsilon_0} \int_V \frac{1}{\sqrt{\frac{r^2 r'^2}{a^2} + a^2 - 2rr' \cos\gamma}} \frac{1}{2} \sigma_V(\vec{r}') r'^2 dr' d\Omega' +$$

$$+ \frac{1}{4\pi} \oint_S \phi(\vec{a}, \theta', \phi') \frac{(r^2 - a^2)}{a(r^2 + a^2 - 2ar \cos\gamma)^{3/2}} a^2 d\Omega'$$

sendo:  $\cos\gamma = \vec{r} \cdot \vec{r}' = \cos\theta \cos\theta' + \sin\theta \sin\theta' \cos(\phi - \phi')$

No caso em que não existe carga no exterior da esfera ( $\sigma_V(\vec{r}) = 0$ ),

mas é fixada a distribuição do potencial na superfície esférica 379  
(relativamente ao potencial de referência, igualmente  $\phi(\infty)=0$ ),  
 $\phi(a, \theta', \varphi')$ , o potencial na região exterior  $V(r \geq a)$  é:

$$\phi(\vec{r}) = \frac{1}{4\pi} \oint_S \phi(a, \theta', \varphi') \frac{a(r^2 - a^2)}{(r^2 + a^2 - 2ar \cos\delta)^{3/2}} d\Omega'$$

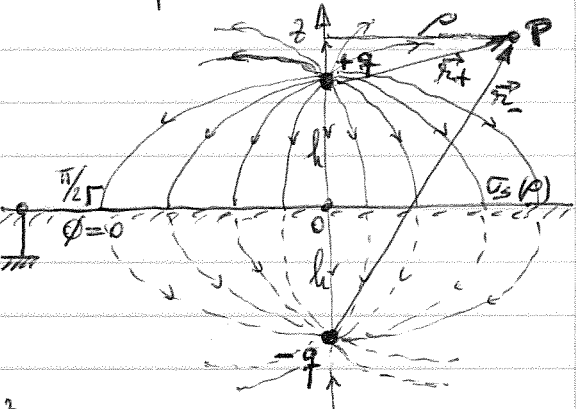
φ do "problema análogo" (fácil de calcular, por conta dos potenciais criados por duas cargas pontuais) coincide com a solução φ do "problema original". Note-se que a carga -q situada em  $z=-h$  no "problema análogo" é a "imagem" da carga do "problema original" na fronteira condutora  $z=0$ , e dali a designação do método.

Salienta-se que os dois problemas são distintos, apenas coincidindo as soluções φ numa região do espaço (neste caso,  $z \geq 0$ ; no "problema original", o potencial é nulo para  $z < 0$ , enquanto no "problema análogo" o potencial é diferente de zero nessa região).

Apresenta-se alguns exemplos de aplicar este método, começando pela análise da configuração simples usada na ilustração do procedimento.

### 3.5.1. Carga puntual e plano condutor ao potencial nulo

Seu perda de generalidade, considera-se uma carga puntual positiva ( $q > 0$ ) situada em  $(0, 0, z=h > 0)$ , e o plano condutor  $z=0$  ao potencial nulo ( $\phi(z=0)=0$ ). Este potencial nulo é mantido por ligação à terra (fonte infinita de cargas a potencial constante e igual a zero). É intuitivo que, por influência electrostática da carga +q, existe uma distribuição de carga superficial no plano condutor, com simetria total em torno do eixo  $zz'$ ,



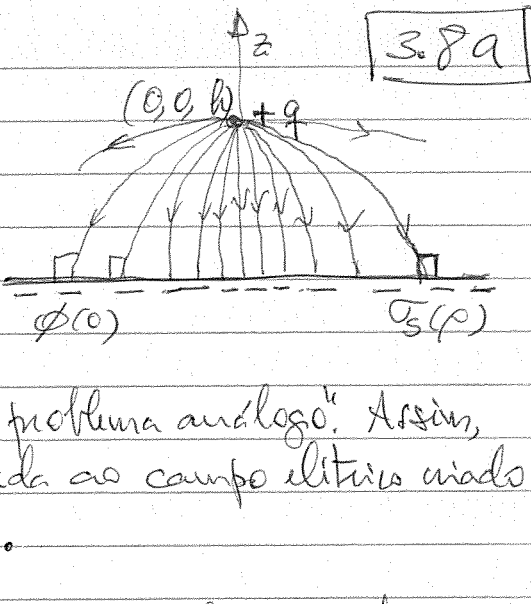
$\sigma_s(\rho; z=0)$ ; nessas cargas superficiais terminam as linhas de força do campo elétrico, originadas em +q e perpendicularares ao plano  $z=0$  sendo  $\vec{E}(\rho; z=0) = \sigma_s(\rho; z=0)/\epsilon_0 \hat{z}$ .

Considerando o potencial  $\phi(P)$  no "problema análogo", resultante das cargas  $\pm q$  em  $z=\pm h$ , vem:

$$\phi(r_1, z) = \phi(\rho, z) \approx \frac{q}{4\pi\epsilon_0} \left( \frac{1}{r_+} - \frac{1}{r_-} \right)$$

com  $r_{\pm} = \sqrt{x^2 + y^2 + (z \mp h)^2} = \sqrt{\rho^2 + (z \mp h)^2}$ . Verifica-se que  $\phi(z=0)=0$ , logo esta equipotencial do "problema análogo" coincide com a fronteira de potencial nulo do "problema original".

Existe, obviamente, força atrativa do plano carregado com densidade superficial de carga  $\sigma_s(p)$  sobre a carga pontual  $+q$ . Como o potencial elétrico em torno de  $+q$ , no espaço  $z \geq 0$ , coincide com o potencial do "problema análogo", o campo elétrico nessa região  $z \geq 0$  é igual ao campo elétrico do "problema análogo". Assim, a força que atua sobre  $+q$  é a força devida ao campo elétrico criado pela carga imagem:  $\vec{F} = -\frac{1}{4\pi\epsilon_0} \frac{q^2}{(2h)^2} \hat{z}$ .



Como se verá adiante, a energia elétrica associada à configuração Carga  $+q$ /Plano condutor não é igual à energia elétrica associada à "configuração análoga" Carga  $+q$ /Carga  $-q$ . Na realidade, na primeira configuração o campo elétrico só existe no espaço  $z \geq 0$ ; enquanto na segunda configuração, o campo existe em todo o espaço. Neste caso concreto, é dada a simetria das configurações, a energia da primeira configuração é metade da energia associada à segunda configuração.

O campo elétrico calcula-se, em qualquer ponto do semi-espaco  $z \geq 0$ , por simples diferenciação,  $\vec{E} = -\nabla \phi$ . No plano condutor ( $z=0$ ), verifica-se facilmente que

$$\vec{E}(\rho, z=0) = -\left(\frac{\partial \phi}{\partial z}\right)_{z=0} \hat{z} = -\frac{q h}{2\pi\epsilon_0} (\rho^2 + h^2)^{-3/2} \hat{z}$$

e a densidade superficial da carga no plano condutor vale

$$\sigma_s(\rho, z=0) = \epsilon_0 E_z(\rho, z=0) = -\frac{q h}{2\pi} (\rho^2 + h^2)^{-3/2}$$

A carga total no plano condutor calcula-se facilmente:

$$\int_{\text{Plano Condutor}} \sigma_s(\rho, z=0) dS = \int_0^\infty -\frac{q h}{2\pi} (\rho^2 + h^2)^{-3/2} \cdot 2\pi\rho d\rho = -q$$

Assim, esta carga superficial, mas uniformemente distribuída, tem o valor total igual ao da carga imagem.

No semi-espaco  $z < 0$ , a solução dos métodos das imagens não se aplica.

### 3.5.2. Reta uniformemente carregada paralela a plano condutor ao potencial zero

Considera-se uma distribuição retilínea de carga uniforme paralela ao eixo  $yy$  e à distância  $h$  do plano  $z=0$  ao potencial zero, com densidade  $\sigma_L$ . O potencial em  $z \geq 0$  é independente de  $y$  e calcula-se facilmente considerando a "reta imagem" representada na figura:

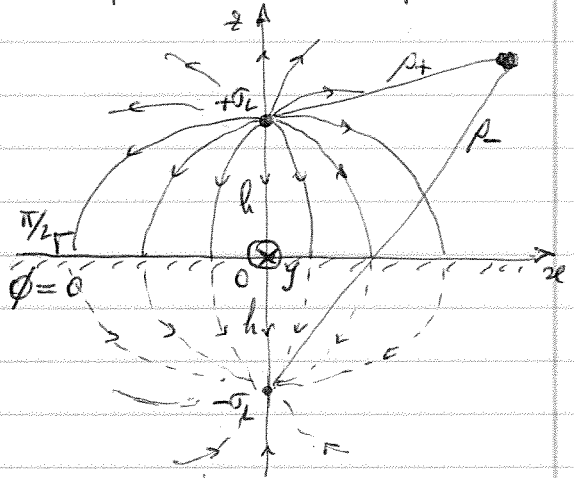
$$\phi(u, z) = -\frac{\sigma_L}{2\pi\epsilon_0} \left[ \ln\left(\frac{\rho_+}{\rho_{0+}}\right) - \ln\left(\frac{\rho_-}{\rho_{0-}}\right) \right]$$

em que  $\rho_\pm$  são as distâncias às rectas da ponto  $P$  em que se calcula o potencial, sendo  $\rho_{0\pm}$  distâncias às rectas para as quais o respectivo potencial é tomado como zero. Neste caso, fazendo  $\rho_{0+} = \rho_{0-} = h$ , vem:

$$\phi(u, z) = -\frac{\sigma_L}{2\pi\epsilon_0} \ln\left(\frac{\rho_+}{\rho_-}\right)$$

Para  $\rho_+/\rho_- = 1$  (plano  $z=0$ ), temos  $\phi=0$ ; logo, esta equação potencial da "problema análogo" coincide com o plano condutor ao potencial zero do "problema original".

Assim, a solução obtida é a solução do problema para



$z \geq 0$  (mas não para  $z < 0$ , onde não há campo no "problema original").

O campo elétrico calcula-se por  $\vec{E} = -\nabla\phi = -\left[\frac{\partial\phi}{\partial x}\hat{x} + \frac{\partial\phi}{\partial z}\hat{z}\right]$ , verificando-se facilmente que é normal ao plano condutor:

$$\vec{E}(x, z \geq 0) = E_z(x)\hat{z} = -(\partial\phi/\partial z)_{z=0}\hat{z}.$$

Pode, então, calcular-se a densidade da carga no plano condutor,  $\sigma_s(x) = \epsilon_0 E_z(x)$ :

$$\sigma_s(x) = -\frac{\sigma_L h}{\pi(x^2+h^2)}$$

Novamente, e por "influência indistinta", é acumulada carga com distribuição non-uniforme, no plano condutor, de sinal contrário ao de  $\sigma_L$ , onde terminam as linhas de força do campo elétrico. A carga total vale

$$\int_{-\infty}^{+\infty} \sigma_s(x) dx = -\frac{\sigma_L h}{\pi} \int_{-\infty}^{+\infty} \frac{dx}{x^2+h^2} = -\frac{\sigma_L h}{\pi} \cdot h \arctan \frac{x}{h} \Big|_{-\infty}^{+\infty} = -\sigma_L$$

As superfícies equipotenciais são determinadas por  $\phi/p = \text{const.}$ ; como:

$$\begin{cases} p^2 = x^2 + (z-h)^2 \\ p^2 = x^2 + (z+h)^2 \end{cases}$$

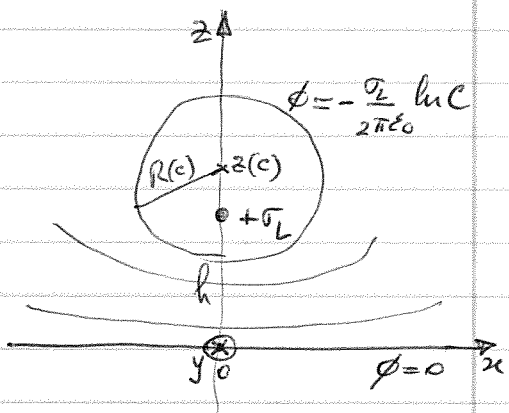
$$\text{vem: } x^2 + z^2 + h^2 - 2zh = C^2 (x^2 + z^2 + h^2 + 2zh)$$

$$\text{ou } 2z^2 - 2zh = h^2 \left( \frac{C^2-1}{C^2+1} \right) \quad (C: \text{constante})$$

Sendo  $C < 1$ , trata-se da equação geral de círculos rodando a posição da reta de carga, com centro no eixo  $zz'$  e raio dados por, respectivamente:

$$z(c) = h \left( 1 + \frac{2C^2}{1-C^2} \right)$$

$$R(c) = \frac{2C}{1-C^2} h$$



A força, por unidade de comprimento, sobre a reta cargada é a dívida à "reta imagem".

### 3.6.3 Reta uniformemente carregada paralela a cilindro condutor ao potencial zero

Calcula-se, em primeiro lugar, o potencial dividir a duas retas paralelas carregadas com densidades lineares de carga  $\pm \sigma_L$ , na geometria indicada na figura. Resulta

diretamente:  $\phi(u,y) = -\frac{\sigma_L}{2\pi\epsilon_0} \ln \left[ \frac{y^2 + (u+h)^2}{y^2 + (u-h)^2} \right]^{1/2}$

(ver ...). As linhas equipotenciais são dadas por:

$$\frac{y^2 + (u+h)^2}{y^2 + (u-h)^2} = C \quad (C = e^{-\frac{4\pi\epsilon_0\phi}{\sigma_L}})$$

ou, resolvendo,  $\left[ u - \frac{h(1+C)}{C-1} \right]^2 + y^2 = \frac{4Ch^2}{(1-C)^2}$ , que é a

equação de uma circunferência com raio  $r_c$  e centro dado por

$$\begin{cases} R_c = \frac{2h\sqrt{C}}{|1-C|} \\ x_c = \frac{h(1+C)}{C-1}, \quad y_c = 0 \end{cases}$$

Para  $C=1$ , resulta o plano  $u=0$ , de potencial zero; para  $0 < C < 1$ , são feitas as linhas equipotenciais no semi-espaco  $u \leq 0$ , e para  $1 < C$  resultam circunferências no semi-espaco  $u \geq 0$ .

O campo elétrico é dado por:

$$\vec{E} = -\nabla\phi = \frac{\sigma_L}{2\pi\epsilon_0} \left[ \frac{2h(y^2 + h^2 - x^2)\hat{x} - 4hx\hat{y}}{[y^2 + (u+h)^2][y^2 + (u-h)^2]} \right]$$

Seja agora uma reta carregada ( $\pm\sigma_L$ ) à distância  $d$  do eixo de uma superfície cilindrica condutora de raio  $R$  ao potential  $\phi(C)$ .

Considerando os resultados anteriores, a equipotencial correspondente à reta carregada ( $\pm\sigma_L$ ) e a sua imagem ( $-\sigma_L$ ) como sistema de cargas, temos que

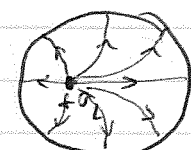
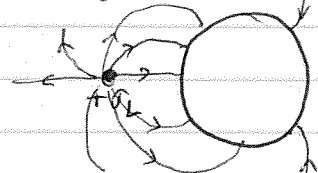
$$R = \frac{2h\sqrt{C}}{|1-C|}$$

$$\pm h + \frac{h(1+C)}{C-1} = d$$

Donde:  $\begin{cases} C = \left(\frac{d^2}{R^2}\right)^{\pm 1} \\ h = \pm \frac{d^2 - R^2}{2d} \end{cases}$

(senso ( $\pm$ ) para reta  $\pm\sigma_L$  no exterior do cilindro;  $1 < C$ )

(validade da reta, respectivamente, no exterior da superfície cilindrica)



A distância da "reta-imagem" ( $-\sigma_L$ ) ao eixo do cilindro é:

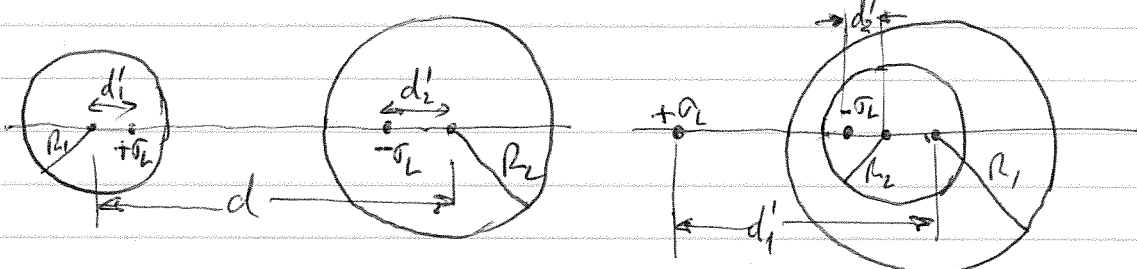
$$d' = \frac{h(1+c)}{c-1} \mp h = \frac{R^2}{d}$$

A força por unidade de comprimento sobre o cilindro resultante do campo da "reta-imagem", é valo:

$$F_z = -\frac{\sigma_L^2}{2\pi\epsilon_0(d-d')} = -\frac{\sigma_L^2 d}{2\pi\epsilon_0(d^2-R^2)}$$

### 3.5.4. Superfícies cilíndricas condutoras carregadas, com eixos paralelos

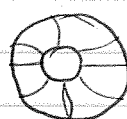
Dois superfícies cilíndricas condutoras, com eixos paralelos à distância  $d$  e raios  $R_1$  e  $R_2$ , estar carregadas com cargas de densidades lineares simétricas  $\pm\sigma_L$ . As superfícies cilíndricas podem ser exteriores uma à outra, ou uma pode ser interior à outra, como mostram as figuras.



Usando retas carregadas ( $\pm\sigma_L$ ) a distâncias  $d'_1$  e  $d'_2$  dos eixos das superfícies cilíndricas, como se indica nas figuras, sendo

$$\begin{cases} d'_1 = \frac{R_1^2}{d+d'} \\ d'_2 = \pm \frac{R_2^2}{d-d'} \end{cases} \quad \begin{array}{l} (\text{sinal superior para a } 1^{\text{a}} \text{ situação, e sinal inferior para a } 2^{\text{a}} \text{ situação; círculos verdes, respectivamente, no "exterior" e no "interno"}) \\ \text{respectivamente, no "exterior" e no "interno"} \end{array}$$

ou, resolvendo:



$d R_2$ )

$$(d')^2 - \frac{(d^2 - R_2^2 + R_1^2)}{d} d'_1 + R_1^2 = 0$$

$$(d')^2 + \frac{(d^2 - R_1^2 + R_2^2)}{d} d'_2 + R_2^2 = 0, \quad \text{cuja solução é}$$

$$d'_1 = \pm \frac{(d^2 - R_1^2 + R_2^2)}{2d} - \sqrt{\left(\frac{(d^2 - R_1^2 + R_2^2)^2}{2d}\right) - R_2^2}^{1/2}$$

$$d'_2 = \frac{(d^2 + R_1^2 - R_2^2)}{2d} \mp \sqrt{\left(\frac{(d^2 + R_1^2 - R_2^2)^2}{2d}\right) - R_1^2}^{1/2}$$

O problema resumido é estendermos os potenciais divididos às duas "retas-imagem". A força atrativa, por

unidade de comprimento axial, sobre cada superfície cilíndrica carregada é agora fácil de calcular através das interações entre as duas "reatas imagem".

O campo elétrico resulta da  $\vec{E} = -\nabla\phi$ , e o seu valor na superfície dos cilindros determina as respectivas densidades superficiais de carga (não-uniformes sobre as superfícies).

### 3.5.5. Carga pontual no exterior de uma esfera condutora

Uma carga pontual  $q$  é colocada à distância  $h$  do centro  $O$  de uma esfera condutora de raio  $a$ . A superfície da esfera é uma equipotencial, que será  $\phi = 0$  sempre que a esfera ligada à terra.

O problema tem simetria em torno do eixo  $zz$  em que se situa a carga,

ou seja,  $\phi(r, \theta)$  em coordenadas esféricas. Como "problema análogo", considerar-se duas cargas pontuais, como mostra a figura.

O potencial criado por estas cargas é dado por

$$\phi(r, \theta) = \frac{1}{4\pi\epsilon_0} \left( \frac{q}{R} + \frac{q'}{R'} \right)$$

em que, considerando os triângulos não-retângulos  $POq$  e  $POq'$ ,

$$R = \sqrt{r^2 + h^2 - 2rh \cos\theta}$$

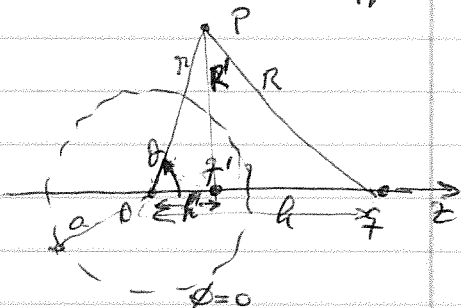
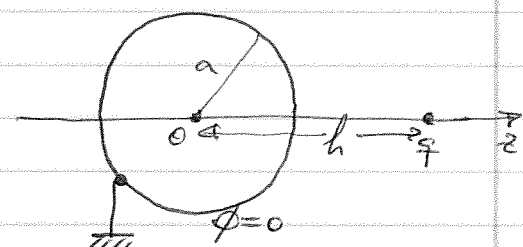
$$R' = \sqrt{r^2 + h'^2 - 2rh' \cos\theta}$$

No superfície esférica de raio  $a$ , vem:

$$\phi(r=a, \theta) = \frac{1}{4\pi\epsilon_0} \left( \frac{q}{\sqrt{a^2 + h^2 - 2ah \cos\theta}} + \frac{q'}{\sqrt{a^2 + h'^2 - 2ah' \cos\theta}} \right)$$

$$\text{Fazendo: } \begin{cases} q' = -\frac{a}{h} q \\ h' = \frac{a^2}{h} \end{cases}$$

Verifica-se que  $\phi(r=a, \theta) = 0$ , ou seja, que existe uma superfície equipotencial ( $\phi=0$ ) coincidente com a superfície esférica do condutor, cujo potencial é nulo também. Encuentra-se, assim, a solução do problema electrostático no exterior da esfera, através do potencial criado pela carga  $q$  e pela sua "carga imagem"  $q'$ . A solução não é válida no interior da esfera (em que o potencial

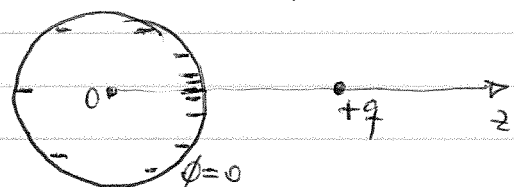


é igual ao da superfície, e o campo elétrico é nulo, no "problema original" mas não no "problema análogo". Assim, para  $r > a$ :

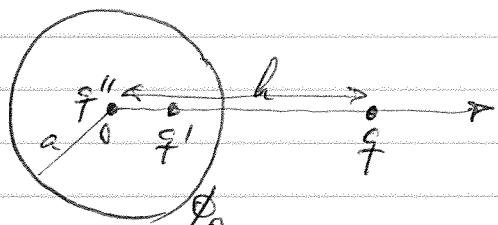
$$\phi(r, \theta) = \frac{q}{4\pi\epsilon_0} \left[ \frac{1}{\sqrt{r^2 + h^2 - 2rh\cos\theta}} - \frac{1}{\sqrt{r^2(h/a)^2 + a^2 - 2rh\cos\theta}} \right]$$

O campo elétrico pode ser calculado, em coordenadas esféricas, por:  $\vec{E}(r, \theta, \phi) = -\nabla\phi(r, \theta) = -\frac{\partial\phi}{\partial r}\hat{r} - \frac{1}{r}\frac{\partial\phi}{\partial\theta}\hat{\theta}$ .

Pode verificar-se que o campo na superfície da esfera é parcialmente normal, e calcular a densidade superficial da carga na esfera:  $\sigma_s'(r=a, \theta) = -\epsilon_0(\partial\phi/\partial r)/r=a$ . A carga total na esfera vale  $q'$ , o que se pode confirmar calculando  $\int_{\text{Sup. Esférica}} \sigma_s'(r=a, \theta) 2\pi r^2 \sin\theta d\theta$ . Note-se que  $\sigma_s'$  varia com  $\theta$ , como seria de esperar, dividido a influência electrostática de  $q$ , que provoca uma deslocação da cargas do final oposto da terra, e que se distribuem não-uniformemente sobre a superfície esférica, de modo a assegurar neste um potencial constante e nulo.



Se o potencial da esfera não for nulo,  $\phi(r=a, \theta) = \phi_0$ , o potencial em  $r > a$  pode ainda ser calculado, usando o resultado anterior e o princípio da superposição. Como se viu,  $q$  e  $q'$  asseguram  $\phi(r=a, \theta) = 0$ ; colocando uma carga pontual  $q''$  no centro da esfera ( $0$ ), mantém-se a superfície esférica  $r=a$  como epipotencial, mas altera-se o valor do potencial, devendo verificar-se:  $\phi_0 = \frac{q''}{4\pi\epsilon_0 a}$



Assim, a "configuração análoga" é constituída pelas cargas pontuais  $q$ ,  $q'$  e  $q''$ . A carga  $q''$  corresponde uma densidade superficial constante na esfera,  $\sigma_s'' = \frac{q''}{4\pi a^2}$ , que se sobrepõe ao valor  $\sigma_s'$ . A densidade total vale:

$$\sigma_{\text{total}}(r=a, \theta) = \sigma_s'(r=a, \theta) + \sigma_s''$$

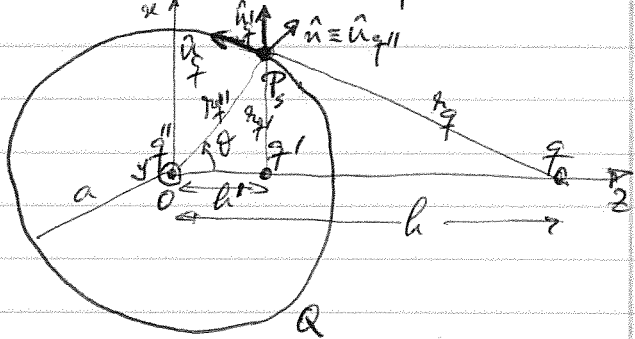
e a carga total da esfera é  $q_{\text{total}} = q' + q''$ .

Analogamente, se a esfera estiver descarregada ( $q_{\text{total}} = 0$ ) e isolada ( $\phi(r=a)$  não definido), o problema

exterior ainda se resolve com cargas  $q$ ,  $q'$  e  $q''$ , sendo neste caso  $q'' = -q'$ . O potencial na superfície da esfera vale, entao:

$$\phi(r=a) = \frac{q''}{4\pi\epsilon_0 a}$$

O cálculo da densidade de carga  $\sigma_s$  de uma esfera condutora com carga total  $Q$  e raio  $a$ , na presença de uma carga puntual exterior  $q$  à distância  $h$  do centro da esfera, pode agora ser desenvolvidos a partir da análise anterior. O campo elétrico na superfície da esfera é normal à superfície,  $\vec{E} = E(a)\hat{n}$ , e resulta da superposição dos campos das três cargas pontuais, sendo:

$$\begin{cases} Q = q' + q'' \\ q' = -\frac{a}{h} q \\ h' = a^2/h \end{cases}$$


Apenas as componentes das cargas normais à superfície são relevantes, dando:

$$4\pi\epsilon_0 E(a) = \frac{q}{r_{q'}^2} (\hat{u}_q \cdot \hat{n}) + \frac{q'}{r_{q'}^2} (\hat{u}_{q'} \cdot \hat{n}) + \frac{q''}{a^2}$$

Usando o sistema de eixos representado na figura, com o ponto  $P_s$  da superfície situado no plano  $Oxz$ , tem-se:

$$\begin{cases} P_s = (a \sin\theta, 0, a \cos\theta) \\ \hat{n} = (\sin\theta, 0, \cos\theta) \end{cases} \quad \begin{cases} \hat{u}_q = \frac{1}{r_q} (a \sin\theta, 0, a \cos\theta - h) \\ \hat{u}_{q'} = \frac{1}{r_{q'}} (a \sin\theta, 0, a \cos\theta - h') \\ \hat{u}_{q''} = \hat{n} \end{cases}$$

e daí:

$$\begin{cases} (\hat{u}_q \cdot \hat{n}) = \frac{1}{r_q} (a - h \cos\theta) \\ (\hat{u}_{q'} \cdot \hat{n}) = \frac{1}{r_{q'}} (a - h' \cos\theta) \end{cases} \quad \begin{cases} r_{q'} = \sqrt{a^2 + h^2 - 2ah \cos\theta} \\ r_{q'} = (a/h)r_q \\ r_{q''} = a \end{cases}$$

Atendendo aos valores de  $q'$ ,  $q''$ ,  $h'$  e  $r_{q'}$ , resulta após cálculos:

$$4\pi\epsilon_0 E(a) = \frac{q}{r_q^3} (a - h \cos\theta) + \frac{q'}{r_{q'}^3} (a - h' \cos\theta) + \frac{q''}{a^2} =$$

$$= \frac{Q}{a^2} + \frac{q}{ah} + \frac{q}{h^3} \left[ \frac{a [1 - (h/a)^2]}{\left[ 1 - 2 \frac{a}{h} \cos\theta + \left( \frac{a}{h} \right)^2 \right]^{3/2}} \right]$$

A densidade superficial da carga vale, então:  $\sigma_j = \epsilon_0 E(a)$ .

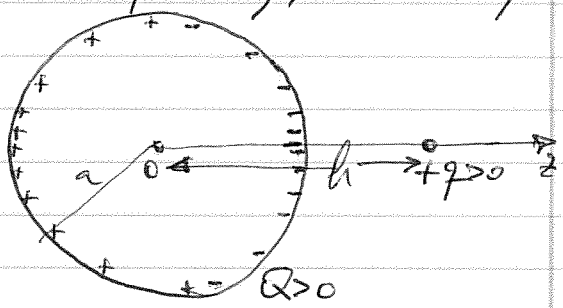
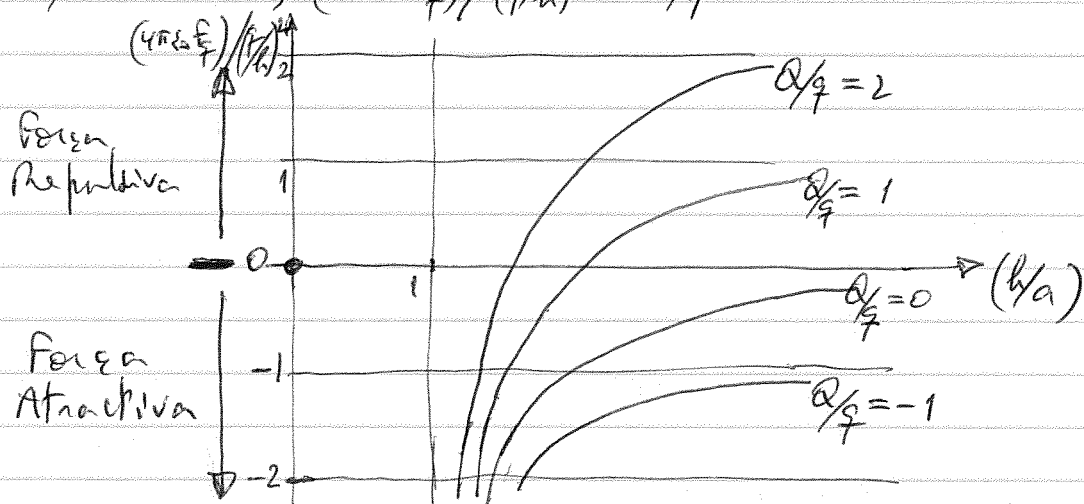
A força sobre a carga pontual que olhava à esfera carregada com a carga  $Q$ ,  $\vec{F}_q = f_q \hat{z}$ , calcula-se facilmente:

$$\begin{aligned} f_q &= \frac{q}{4\pi\epsilon_0} \left[ \frac{\sigma''}{h^2} + \frac{\sigma'_1}{(h-h')^2} \right] = \frac{q}{4\pi\epsilon_0 h^2} \left[ \sigma'' + \frac{h^2(-\sigma'_1)}{(h-a/h)^2} \right] = \\ &= \frac{q}{4\pi\epsilon_0 h^2} \left[ \sigma'' - \sigma'_1 \frac{1}{1-(a/h)^2} \right] = \frac{1}{4\pi\epsilon_0} \left( \frac{q}{h} \right)^2 \left[ \frac{Q}{h} + \frac{a}{h} \left( 1 - \frac{1}{1-(a/h)^2} \right) \right] \end{aligned}$$

A força  $\vec{F}_q$  será repulsiva ( $f_q > 0$ ) ou atrativa ( $f_q < 0$ ) dependendo dos valores dos parâmetros ( $a, h, q$  e  $Q$ ). Sejam  $Q, q > 0$ ; na ausência de  $q$ , a carga  $Q$  distribuir-se-á uniformemente na superfície da esfera, como é óbvio, mas a presença de  $q$  a carga total  $Q$  redistribuirá. Haverá uma região próxima de  $q$  com densidade superficial de carga tendencialmente negativa (não-uniforme), e uma região afastada com distribuição de carga positiva, como ilustra a figura.

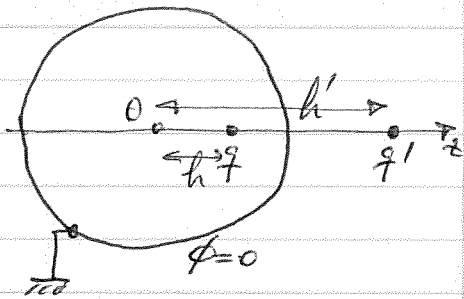
Embora a carga total da esfera ( $Q$ ) seja positiva, dada a maior proximidade de  $q$  ( $q > 0$ ) da região carregada negativamente, pode a força sobre  $q$  ser atrativa. A figura mostra o gráfico de  $(4\pi\epsilon_0 F_q)/(q/h)^2$  em função de  $(h/a) > 1$  para

$$\begin{cases} h/a \rightarrow 1, & (4\pi\epsilon_0 F_q)/(q/h)^2 \rightarrow -\infty \\ h/a \rightarrow \infty, & (4\pi\epsilon_0 F_q)/(q/h)^2 \rightarrow Q/q \end{cases}$$



A solução do "problema exterior" ( $\phi(r>a)$ ) conduz imediatamente à solução do "problema interior" ( $\phi(r<a)$ ), representado na figura no caso de  $\phi(r=a)=0$ . Os papéis das cargas  $q$  e  $q'$  são agora trocados. De forma

semelhante à anteriormente disertada, podem ser analisadas as situações em que a esfera está descarregada e isolada, ou em que está a um certo potencial não-nulo.

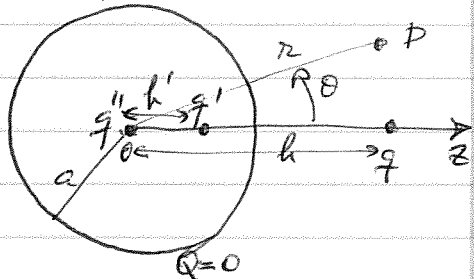


### 3.5.6. Esfera condutora isolada com carga num campo elétrico uniforme

Os resultados anteriores referentes a uma carga puntual  $q$  à distância  $h$  do centro de uma esfera condutora de raio  $a$  ( $a < h$ ) permitem obter a solução deste problema, fazendo  $h$  e  $q$  tenderem para infinito mantendo a razão  $q/h^2$  finita e igual a  $4\pi\epsilon_0 E_0$ , sendo  $E_0$  a grandeza do campo elétrico uniforme  $\vec{E}_0 = E_0 \hat{z}$  em que se situa a esfera condutora. O problema resolu-se, como disertado atrás, com as "cargas imagem"  $q'$  e  $q''$ ; sendo  $q > 0$ , resulta  $q' < 0$ , e  $q'' = -q'$ .

As cargas ( $q', q''$ ) constituem um dipolo de momento  $\vec{p} = -p \hat{z}$ , com

$$p = -q'h' = q''h' = q \frac{a^3}{h^2} \quad (Q = q' + q'' = 0)$$



fazendo  $h \rightarrow \infty$ , mas mantendo  $q/h^2 = 4\pi\epsilon_0 E_0$ , verificar-se que  $p$  é constante:  $p \rightarrow 4\pi\epsilon_0 E_0 a^3$  e o dipolo localiza-se, no limite, no centro da esfera:  $h' \rightarrow 0$

Assim, no exterior da esfera, o campo total será o campo  $\vec{E}_0$  adicionado do campo do dipolo  $\vec{p}$ .

O potencial num ponto  $P$  exterior à esfera  $\neq$  considerando os campos  $\vec{E}_0$  sua da forma (sendo  $E_0 > 0$ ):

$$\phi_0 = -E_0 z = -E_0 r \cos \theta \quad (\text{fazendo } \phi_0 = 0 \text{ em } z=0)$$

O potencial dividido ao dipolo na origem vale

$$\phi_D = \frac{1}{4\pi\epsilon_0} \frac{p \cos \theta}{r^2} = E_0 \frac{a^3 \cos \theta}{r^2}$$

Assim, o potencial total em  $P(r, \theta)$  vale

$$\phi(r, \theta) = E_0 \cos \theta \left( \frac{a^3}{r^2} - \frac{1}{r} \right)$$

sendo nulo para  $r=a$ .

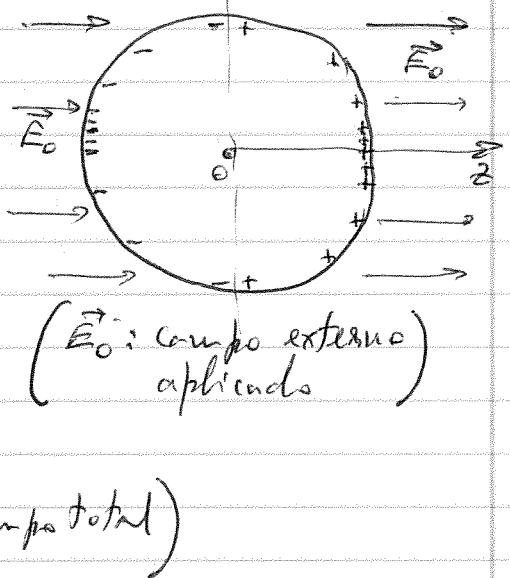
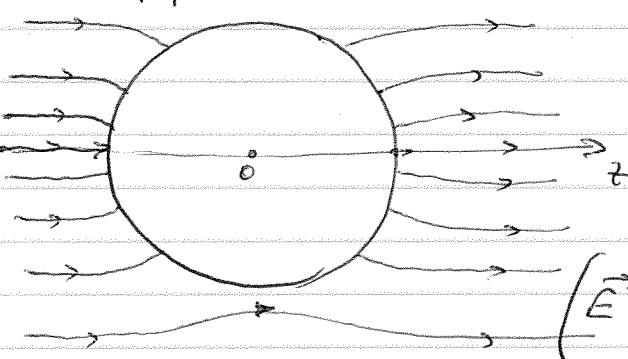
O campo elétrico na superfície da esfera é obviamente radial,  $E = E(a, \theta) \hat{r}$ , sendo

$$E(a, \theta) = -\left(\frac{\partial \phi}{\partial r}\right)_{r=a} = \epsilon_0 \cos \theta \left[1 + 2 \frac{a^3}{r^3}\right]_{r=a} = 3 \epsilon_0 E_0 \cos \theta$$

Dai que a densidade superficial de carga na esfera é:

$$\sigma_s(\theta) = \epsilon_0 E(a, \theta) = 3 \epsilon_0 E_0 \cos \theta$$

A esfera fica com uma distribuição de carga superficial como se ilustra na figura.



$(\vec{E}(r, \theta): campo total)$

### 3.07. Método de separação de variáveis: coordenadas cartesianas

Em muitas situações, as cargas elétricas estão distribuídas apenas nas interfaces entre meios materiais, não existindo distribuições volumétricas de carga. Assim, no espaço entre essas fronteiras, o potencial elétrico deve verificar a equação de Laplace,  $\nabla^2 \phi = 0$ .

Assume-se, no tratamento seguinte, que as distribuições de carga ocorrem na superfície de condutores, separados pelo vácuo ( $\epsilon_0$ ). Abordagens semelhantes, em problemas envolvendo meios materiais (permittividades eléticas  $\neq \epsilon_0$ ) e meios magnéticos serão tratadas em capítulos posteriores.

A solução  $\phi$  da equação de Laplace é que verifique as condições fronteira nas superfícies carregadas pode ser procurada usando o método de separação de variáveis em problemas em que essas condições fronteira verifiquem certas condições de simetria. Atendendo à propriedade dessas condições fronteira, será apropriada a utilização alternativa de sistemas de coordenadas cartesianas, cilíndricas ou esféricas, em que o função potencial  $\phi$  se expõe, respectivamente, como